

# Chapitre I

## Magnétostatique dans le Vide

September 11, 2014

### Contents

<b>1</b>	<b>Généralités</b>	<b>2</b>
<b>2</b>	<b>Induction magnétique <math>\vec{B}</math></b>	<b>3</b>
2.1	Champ $\vec{B}$ créé par des charges ponctuelles . . . . .	3
2.2	Champ $\vec{B}$ créé par une distribution de courants . . . . .	5
<b>3</b>	<b>Propriétés de symétrie de <math>\vec{B}</math></b>	<b>6</b>
3.1	Méthode des symétries . . . . .	7
3.2	Application au calcul de $\vec{B}$ . . . . .	7
<b>4</b>	<b>Trois exemples d'illustration</b>	<b>10</b>
4.1	Fil rectiligne . . . . .	10
4.2	Spire circulaire d'axe $\overrightarrow{OZ}$ . . . . .	13
4.3	Solénoïde infini d'axe $\overrightarrow{OZ}$ . . . . .	15
<b>5</b>	<b>Travaux dirigés: série I</b>	<b>16</b>
<b>6</b>	<b>Solution (des indications)</b>	<b>18</b>

# 1 Généralités

- Une charge électrique  $q$  au repos crée en  $M$  un champ électrostatique

$$\vec{E}_0 = \frac{q}{4\pi\epsilon_0} \frac{\vec{r}}{r^3}, \quad \vec{r} = \overrightarrow{OM}$$

$\epsilon_0$  la permittivité du vide

$$\epsilon_0 = \frac{10^{-9}}{36\pi} \simeq 8.84 \times 10^{-12} \text{ Fm}^{-1}$$

- Quand la charge  $q$  est en mouvement ( $\vec{v} \neq \vec{0}$ ), elle crée un champ *électromagnétique*

$$\vec{E} \quad , \quad \vec{B}$$

dont les lois sont

$$\begin{array}{ll} \text{div } \vec{E} = \frac{\rho}{\epsilon_0} & , \quad \text{rot } \vec{E} = -\frac{\partial \vec{B}}{\partial t} \\ \text{div } \vec{B} = 0 & , \quad \text{rot } \vec{B} = \mu_0 \vec{j} + \frac{\partial \vec{E}}{c^2 \partial t} \end{array}$$

avec:

$\rho$  la densité de charges électriques,

$\vec{j}$  la densité de courant et

$\mu_0$  perméabilité du vide

$$\mu_0 = 4\pi 10^{-7} \text{ Hm}^{-1}$$

- Si on *ignore* les variations temporelles de  $\vec{E}$  et  $\vec{B}$ ; càd:

$$\frac{\partial \vec{E}}{\partial t} \rightarrow \vec{0}, \quad \frac{\partial \vec{B}}{\partial t} \rightarrow \vec{0}$$

on aura:

$$\begin{array}{ll} \text{div } \vec{E} = \rho/\epsilon_0 & , \quad \text{rot } \vec{E} = \vec{0} \\ \text{div } \vec{B} = 0 & , \quad \text{rot } \vec{B} = \mu_0 \vec{j} \end{array}$$

ce qui permet l'étude séparée de l'électrostatique et de la magnétostatique.

- Dans ce chapitre, on fixe l'attention sur

magnétostatique

en particulier sur la production du champ d'induction magnétique  $\vec{B}$  à partir de densités permanentes de courants électriques  $\vec{j}$ .

## 2 Induction magnétique $\vec{B}$

On distinguera 2 situations:

- distribution discrete de charges  $\{q_1, \dots, q_n\}$  avec des vitesses  $\vec{v}_i$  et par conséquent des courants de charges

$$\vec{J}_1 = q_1 \vec{v}_1, \quad \dots \quad \vec{J}_n = q_n \vec{v}_n$$

- distribution continue de charges comme dans les circuits électriques:

$$\begin{aligned} dq &= \rho d\tau & : \text{élément de charge} \\ d\vec{J} &= dq\vec{v} = \rho\vec{v}d\tau & : \text{élément de densité de courant} \end{aligned}$$

-  $d\tau$  un élément de volume.

- Noter que l'élément de courant  $d\vec{J}$  peut s'écrire aussi comme

$$d\vec{J} = \vec{j}d\tau$$

avec  $\vec{j}$  la densité de courant

$$\vec{j} = \frac{d\vec{J}}{d\tau} = \rho\vec{v}$$

### 2.1 Champ $\vec{B}$ créé par des charges ponctuelles

A) *cas d'une charge*

Le champ d'induction magnétique  $\vec{B}$  créé en un point  $M$  par une particule de charge  $q$  située en un point  $P$  et animée d'une vitesse  $\vec{v} = \vec{v}(P)$  est:

$$\vec{B} = \frac{\mu_0}{4\pi} q\vec{v} \wedge \frac{\vec{PM}}{|\vec{PM}|^3}$$

(2.1)

a) 2 remarques:

(i) L'expression de  $\vec{B} = \vec{B}(P, M)$  dépend en fait de 2 points:

- $P$  ou se trouve la charge  $q$
- $M$  ou on calcule le champ;

(ii) Si  $q = 0$  ou  $\vec{v} = \vec{0}$ ; alors, il n'y aura pas de champ

$$\vec{B} = \vec{0}$$

Autrement dit le champ  $\vec{B}$  est créée par le courant de charge  $\vec{J} = q\vec{v}$

$$\vec{B} = \frac{\mu_0}{4\pi} \vec{J} \wedge \frac{\overrightarrow{PM}}{|PM|^3}$$

### Unité du champ $\vec{B}$

Dans le système international, l'unité est le Tesla ( $T$ ).

Dans le système *CGS*, l'unité est le Gauss ( $G$ ); avec la relation

$$1G = 10^{-4}T$$

### b) Propriétés de $\vec{B}$

(i) Le champ d'induction magnétique  $\vec{B}(M)$  est donné par un

$$\text{produit vectoriel} \quad : \quad \vec{B} = \left( \frac{\mu_0}{4\pi} \vec{J} \right) \wedge \left( \frac{\overrightarrow{PM}}{|PM|^3} \right)$$

c'est un pseudo-vecteur.

Cette propriété jouera un rôle important dans la simplification du calcul de  $\vec{B}$ .

(ii) Le facteur  $\mu_0$  est relié à la vitesse de la lumière  $c = 3.10^8 m/sec$  par la relation suivante

$$\epsilon_0 \mu_0 c^2 = 1$$

montant qu'il existe un lien très étroit entre l'électricité ( $\epsilon_0$ ), le magnétisme ( $\mu_0$ ) et la lumière ( $c$ ).

### **B) cas de plusieurs charges**

Le champ créé par 2 charges  $q_1$  et  $q_2$  au point M est donné par la somme des expressions des 2 champs  $\vec{B}_1$  et  $\vec{B}_2$  en M; c'est le principe de superposition:

$$\begin{aligned} q_1 &\rightarrow \vec{B}_1(M) \\ q_2 &\rightarrow \vec{B}_2(M) \\ q_1, q_2 &\rightarrow \vec{B}_{total}(M) = \vec{B}_1(M) + \vec{B}_2(M) \end{aligned}$$

soit

$$\vec{B}_{total} = \left( \frac{\mu_0}{4\pi} q_1 \vec{v}_1 \wedge \frac{\overrightarrow{P_1M}}{|P_1M|^3} \right) + \left( \frac{\mu_0}{4\pi} q_2 \vec{v}_2 \wedge \frac{\overrightarrow{P_2M}}{|P_2M|^3} \right)$$

## 2.2 Champ $\vec{B}$ créé par une distribution de courants

Dans ce cas nous avons une distribution continue de charge qui peut être:

- \* volumique (3 dimensions),
- \* surfacique (2 dimensions),
- \* linéique (circuit filiforme).

Dans ce qui suit, on traitera le cas général et développera avec détails le cas des circuits filiformes

vue qu'ils sont les plus utilisés en pratique.

### A) cas général

#### a) élément de champ $d\vec{B}$

Chaque élément de charge  $dq$  de vitesse  $\vec{v}$ , centré autour d'un point P, crée un  $d\vec{B}$

$$d\vec{B} = \vec{b}d\tau \quad \leftrightarrow \quad \vec{b} = \frac{d\vec{B}}{d\tau}$$

donnée par

$$\begin{aligned} \vec{b}d\tau &= \frac{\mu_0}{4\pi} dq\vec{v} \wedge \frac{\overrightarrow{PM}}{|PM|^3} \\ &= \frac{\mu_0}{4\pi} \rho\vec{v} \wedge \frac{\overrightarrow{PM}}{|PM|^3} d\tau \end{aligned}$$

soit

$$\vec{b} = \frac{\mu_0}{4\pi} \rho\vec{v} \wedge \frac{\overrightarrow{PM}}{|PM|^3}$$

(2.2)

#### b) champ total: $\vec{B}$

Obtenu par integration sur tout le circuit conducteur

$$\vec{B}(M) = \iiint_{\text{volume}} \vec{b}d\tau$$

En remplaçant  $\vec{b}$ , on a:

$$\vec{B}(M) = \frac{\mu_0}{4\pi} \iiint_P \vec{j}(P) \wedge \frac{\overrightarrow{PM}}{|PM|^3} d\tau \quad (2.3)$$

avec

$$\vec{j}(P) = \rho\vec{v}(P)$$

### B) cas d'un circuit filiforme

C'est ce genre de circuit qui nous intéresse le plus dans ce chapitre

a) Expression de  $\vec{B}$   
 donnée par la loi de *Biot et Savart*

$$\boxed{\vec{B}(M) = \frac{\mu_0}{4\pi} \oint_{\text{circuit}} I \vec{dl} \wedge \frac{\overrightarrow{PM}}{|PM|^3}} \quad (2.4)$$

b) preuve  
 Cette relation peut être obtenue à partir de

$$\vec{B}(M) = \frac{\mu_0}{4\pi} \iiint_P \vec{j}(P) \wedge \frac{\overrightarrow{PM}}{|PM|^3} d\tau$$

comme suit:

(i) décomposer l'élément de volume  $d\tau$  comme le produit

$$d\tau = \overrightarrow{dS} \cdot \overrightarrow{dl} = dS dl$$

où  $\overrightarrow{dS}$  est un élément de surface de la section du fil et  $\overrightarrow{dl}$  est un élément de longueur.

(ii) remplacer dans la relation (2.3),

$$\vec{B}(M) = \frac{\mu_0}{4\pi} \oint_{\text{circuit}} \left[ \iint_{\text{section}} \vec{j} \cdot \overrightarrow{dS} \right] \overrightarrow{dl} \wedge \frac{\overrightarrow{PM}}{|PM|^3}$$

(iii) Comme l'intégration de la densité de courant sur la surface n'est autre que le courant  $I$

$$\iint_{\text{section}} \vec{j}(P) \cdot \overrightarrow{dS} = I$$

on obtient la Loi de Biot et Savart établie expérimentalement en 1820.

### 3 Propriétés de symétrie de $\vec{B}$

En coordonnées cartésiennes par exemple, le champ d'induction magnétique  $\vec{B}$  se décompose comme

$$\begin{pmatrix} B_x \\ B_y \\ B_z \end{pmatrix}$$

avec

$$B_x = B_x(x, y, z), \quad B_y = B_y(x, y, z), \quad B_z = B_z(x, y, z)$$

Connaitre le champ  $\vec{B}$  revient alors à évaluer les fonctions

$$B_x, B_y, B_z$$

Pour déterminer explicitement ces quantités, on utilise:

- La loi de Biot et Savart
- Les propriétés de symétries du circuit

### 3.1 Méthode des symétries

L'idée de cette méthode repose sur la remarque suivante:

*Lorsque une cause ( $\mathcal{C}$ ) produit un effet ( $\mathcal{E}$ ),  
les éléments de symétrie de ( $\mathcal{C}$ ) doivent se retrouver dans ( $\mathcal{E}$ )*

Cela veut dire que

si un circuit électrique admet une symétrie ( $s$ )

alors

$\vec{B}$  a la même symétrie ( $s$ )

Voyons comment cela fonctionne.

### 3.2 Application au calcul de $\vec{B}$

On se limitera ici à donner les règles:

6 règles de symétries à retenir

(R1) *symétrie de translation*

Exemple: fil infini suivant  $\vec{Oz}$  parcouru par un courant  $I$  (schema)

Pour calculer  $\vec{B}(M)$ , il est plus simple d'utiliser les coordonnées cylindriques

$$(\rho, \varphi, z)$$

Dans ce système, l'invariance par translation suivant  $\vec{Oz}$  du fil se manifeste au niveau de  $\vec{B}$  par:

$$\frac{\partial \vec{B}}{\partial z} = 0 \quad \Leftrightarrow \quad \vec{B} = \vec{B}(\rho, \varphi) \quad \text{pas de } z !$$

La symétrie de translation exige que  $\vec{B}$  ne depend pas de la coordonnée  $z$ .

(R2) *symétrie axiale*

Exemple: une spire d'axe  $\vec{Oz}$  parcouru par un courant I.

Comme la spire est invariante dans toute rotation d'angle  $\varphi$  autour de  $\vec{OZ}$ , nous avons

$$\frac{\partial \vec{B}}{\partial \varphi} = \vec{0} \quad \Leftrightarrow \quad \vec{B} = \vec{B}(\rho, z) \quad \text{pas de } \varphi !$$

Le champ  $\vec{B}$  ne depend pas de la coordonnée  $\varphi$ .

(R3) *symétrie cylindrique*

Cette symétrie englobe les 2 précédentes;

- Symétrie par translation et symétrie par rotation.

- Pour calculer  $\vec{B}$ , il faut utiliser les coordonnées cylindriques  $(\rho, \varphi, z)$ .

L'invariance cylindrique exige alors

$$\frac{\partial \vec{B}}{\partial z} = \frac{\partial \vec{B}}{\partial \varphi} = \vec{0} \quad \Leftrightarrow \quad \vec{B} = \vec{B}(\rho) \quad \text{pas de } z \text{ et pas } \varphi !$$

le champ  $\vec{B}$  ne dépend que de la coordonnée  $\rho$ .

(R4) *symétrie sphérique*

C'est l'exemple de système admettant une symétrie radiale.

Dans ce cas on utilise les coordonnées spherique  $(r, \theta, \varphi)$ ; l'invariance radiale implique

$$\frac{\partial \vec{B}}{\partial \theta} = \frac{\partial \vec{B}}{\partial \varphi} = \vec{0} \quad \Leftrightarrow \quad \vec{B} = \vec{B}(r) \quad \text{pas de } \theta \text{ et pas } \varphi !$$

soit  $\vec{B}$  ne dependant que de  $r$ .

Remarque

Ces regles de symetries sont aussi valables pour le calcul du champ électrique  $\vec{E}$  et pour le potentiel vecteur  $\vec{A}$  dont dérive l'induction magnétique, ( $\vec{B} = \text{rot} \vec{A}$ ).

(R5) *Plan de symétrie:*

Si le système admet un plan de symétrie  $\Pi_s = (\vec{u}, \vec{v})$ , en tout point  $M$  de ce plan:



–  $\vec{B} = \vec{B}(M)$  est perpendiculaire au plan  $\Pi_s$ , càd:

$$\boxed{\vec{B} \perp \Pi_s} \quad ; \quad \vec{E}, \vec{A} \in \Pi_s$$

ou encore

$$\vec{B} = B \vec{w}, \quad \text{avec } \vec{w} = \vec{u} \wedge \vec{v}$$

Cette symétrie est très forte

*une seule inconnue parmi les 3*

Il faudrait toujours commencer par chercher s'il y a un  $\Pi_s$ .

– remarque: cette propriété s'énonce généralement comme suit:

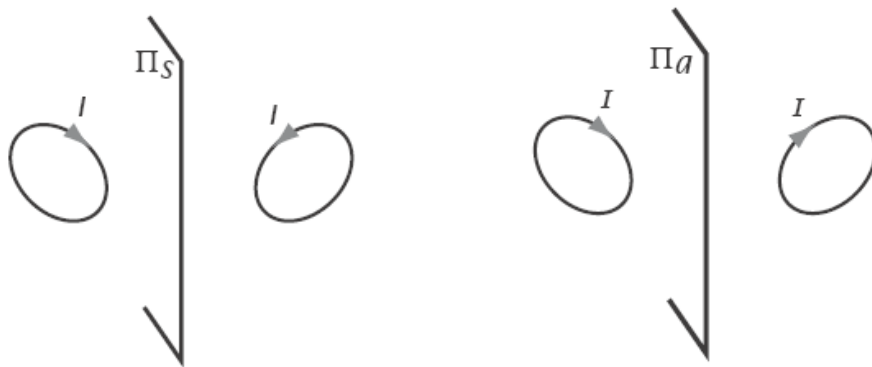


Figure 1: *plan de symétrie  $\Pi_s$  et plan d'antisymétrie  $\Pi_a$ . Noter bien le sens des courants.*

■ tout effet à caractère *pseudo-vectoriel*

comme  $\vec{B}$

est perpendiculaire au plan  $\Pi_s$ ,

■ tout effet à caractère *vectoriel*

comme  $\vec{E}$  et  $\vec{A}$

est contenu dans le plan  $\Pi_s$ , càd:

$$\begin{aligned} \vec{E} &= E_u \vec{u} + E_v \vec{v} \\ \vec{A} &= A_u \vec{u} + A_v \vec{v} \end{aligned}$$

Pour les vecteurs  $\vec{E}$  et  $\vec{A}$ , il faut donc calculer 2 coefficients parmi les 3.

(R6) *Plan d'antisymétrie*

Si le système admet un plan de d'antisymétrie  $\Pi_a = (\vec{u}', \vec{v}')$ , en tout point M de ce plan:

–  $\vec{B} = \vec{B}(M)$  est contenu dans le plan  $\Pi_a$ ,

$$\boxed{\vec{B} \in \Pi_a \quad ; \quad \vec{E}, \quad \vec{A} \perp \Pi_a}$$

càd

$$\vec{B} = B_u \vec{u}' + B_v \vec{v}'$$

Cette antisymétrie réduit le calcul de  $\vec{B}$  à 2 inconnues

$$B_u \quad \text{et} \quad B_v$$

Elle est *moins forte* que  $\Pi_s$ .

## 4 Trois exemples d'illustration

on étudiera 3 exemples de circuits filiformes.

### 4.1 Fil rectiligne

On considère un fil rectiligne suivant  $\vec{Oz}$  parcouru par un courant  $I$  permanent ( $\frac{dI}{dt} = 0$ ).

fig 2

On se propose de calculer  $\vec{B}(M)$  associée en utilisant les règles de symétrie. On distinguera 2 cas: fil fini et fil infini.

#### Fil infini

Ce circuit possède *plusieurs éléments de symétrie*

**a)** *Le fil a une symétrie cylindrique; càd:*

*i) une invariance par translation selon l'axe  $\vec{Oz}$  et,*

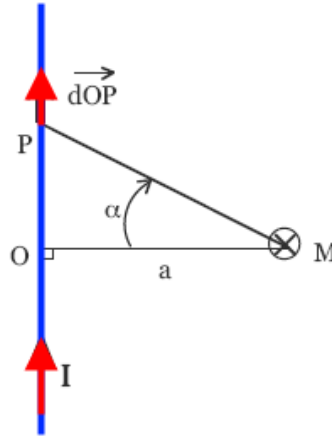


Figure 2: *champ d'induction magnétique créé par un fil infini parcouru par un courant  $I$  permanent. Ce circuit a la symétrie cylindrique.*

*ii) une invariance par rotation autour de cet axe.*

Ces 2 éléments de symétrie indiquent coordonnées

$$(\rho, \varphi, z)$$

On a en tout point M

$$\vec{B}(M) = \vec{B}(\rho, \varphi, z)$$

avec les conditions

$$\frac{\partial \vec{B}}{\partial z} = \frac{\partial \vec{B}}{\partial \varphi} = \vec{0} \Rightarrow \vec{B} = \vec{B}(\rho)$$

soit une fonction dépendant d'une seule variable  $\rho$ .

**b)** *Le fil a un plan symétrie  $\Pi_s$*

Pour déterminer la direction de  $\vec{B}$ , on cherche s'il y'a un plan de symétrie  $\Pi_s$  ou d'antisymétrie  $\Pi_a$ . Le plan

$$\Pi_s = (\vec{e}_\rho, \vec{e}_z)$$

formé par le fil  $\overrightarrow{OZ}$  et le vecteur  $\overrightarrow{OM}$  est un plan de symétrie.

Comme  $\vec{B}$  est un pseudo vecteur, il doit donc être perpendiculaire à ce plan, d'après la règle (R5).

Par conséquent:

$$\vec{B}(\rho, \varphi, z) = B(\rho) \vec{e}_\varphi$$

**c)** *calcul de  $B(\rho)$  par la loi de Biot & Savart*

on fera ce calcul d'abord pour le cas d'un *fil fini*, ensuite le cas *infini*

- le fil fini a une symétrie axial
- $\Pi_s = (\vec{e}_\rho, \vec{e}_z)$  est un plan de symétrie

$$\vec{B} = B(\rho, z) \vec{e}_\varphi$$

On détermine le coefficient  $B(\rho, z)$  par la loi de Biot et Savart

$$\vec{B}(M) = \int_{P \in \text{circuit}} d\vec{B}$$

avec

$$d\vec{B} = \frac{\mu_0}{4\pi} I d\vec{l} \wedge \frac{\vec{PM}}{|PM|^3}$$

ou ( en posant  $\rho = a$ )

$$\begin{aligned} d\vec{l} &= d\vec{OP} &= dz \vec{e}_z \\ \frac{\vec{PM}}{|PM|^3} &= \frac{\vec{PO}}{|PO|^3} + \frac{\vec{OM}}{|OM|^3} &= -z\vec{e}_z + a \vec{e}_\rho \end{aligned}$$

et

$$|PM|^3 = (a^2 + z^2)^{\frac{3}{2}}$$

Remplaçons

$$\begin{aligned} d\vec{B} &= \frac{\mu_0 I}{4\pi(a^2+z^2)^{\frac{3}{2}}} dz \vec{e}_z \wedge (-z\vec{e}_z + a\vec{e}_\rho) \\ &= \frac{\mu_0 I a}{4\pi(a^2+z^2)^{\frac{3}{2}}} dz \vec{e}_\varphi \end{aligned}$$

Pour avoir l'induction magnétique *totale*, on integre sur la variable

$$z \in ]-\infty, \infty[, \text{ en général un fil fini } [\alpha_1, \alpha_2] \rightarrow .$$

Une facon plus simple est d'integrer sur l'angle  $\alpha \in ]-\frac{\pi}{2}, \frac{\pi}{2}[$  vu que  $z$  et  $\alpha$  sont reliés

$$\begin{aligned} z &= a \tan \alpha \\ dz &= \frac{a}{\cos^2 \alpha} d\alpha \\ \cos \alpha &= \frac{a}{\sqrt{a^2+z^2}} \end{aligned}$$

ce qui conduit à

$$\begin{aligned} \vec{B} &= \int_{-\frac{\pi}{2}}^{\frac{\pi}{2}} d\vec{B} = \vec{e}_\varphi \frac{\mu_0 I}{4\pi a} \int_{\alpha_1}^{\alpha_2} \cos \alpha d\alpha \\ \dots &= \vec{e}_\varphi \frac{\mu_0 I}{4\pi a} \int_{-\frac{\pi}{2}}^{\frac{\pi}{2}} \cos \alpha d\alpha \end{aligned}$$

et par suite

$$\begin{aligned}\vec{B} &= \frac{\mu_0 I}{4\pi a} (\sin \alpha_2 - \sin \alpha_1) \vec{e}_\varphi \\ \vec{B} &= \frac{\mu_0 I}{2\pi a} \vec{e}_\varphi\end{aligned}$$

(4.1)

Le champ  $\vec{B}$  est toroïdal.

## 4.2 Spire circulaire d'axe $\vec{OZ}$

Soit  $\mathcal{S}$  une spire circulaire de rayon  $R$ , parcourue par un courant permanent  $I$ , voir fig 3. On veut calculer le champ magnétique  $\vec{B}$  en M appartenant à l'axe  $\vec{Oz}$  de la spire; soit

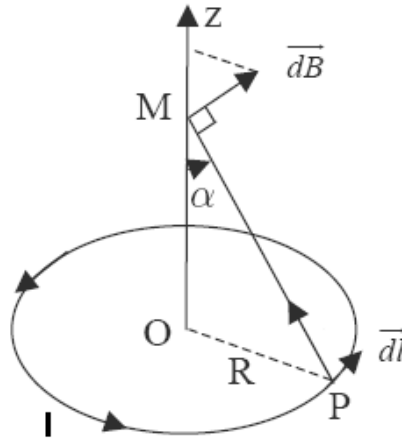


Figure 3: Induction magnétique créé par une boucle de courant permanent  $I$  d'axe  $\vec{OZ}$ . La boucle a la symétrie axiale.

**a)**  $\mathcal{S}$  a une symétrie axiale

d'où

$$\vec{B}(M) = \vec{B}(\rho, z) \quad \text{pas de } \varphi, \text{ d'après (R2)}$$

mais ici on a choisit M sur l'axe:

$$M = (0, 0, z), \quad \Rightarrow \quad \vec{B}(M) = \vec{B}(z)$$

**b)** calcul la direction de  $\vec{B}$

Comme  $\mathcal{S}$  n'a y a pas de plan de symétrie *contenant* M, on cherche s' il y a des plans d'antisymetrie.

Les plans

$$\Pi_a = (\vec{e}_\rho, \vec{e}_z), \quad \Pi'_a = (\vec{e}_\varphi, \vec{e}_z),$$

sont 2 plans d'antisymétrie qui contiennent  $M$  et qui coupent la spire en 2 parties antisymétriques.

D'après la règle (R6), on doit avoir:

$$\vec{B} \in \Pi_a \quad \text{et} \quad \vec{B} \in \Pi'_a$$

et donc

$$\vec{B} \in \Pi_a \cap \Pi'_a = \overrightarrow{Oz} \quad \Rightarrow \quad \vec{B} = B(z) \vec{e}_z$$

**c) calcul de  $B(z)$**

On utilise la loi de *Biot et Savart*

$$\vec{B} = \int_{\text{spire}} d\vec{B}$$

ou

$$d\vec{B} = \frac{\mu_0}{4\pi} Id\overrightarrow{OP} \wedge \frac{\overrightarrow{PM}}{|PM|^3}$$

avec

$$\begin{aligned} d\overrightarrow{OP} \wedge \overrightarrow{PM} &= R d\varphi \vec{e}_\varphi \wedge (-R\vec{e}_\rho + z\vec{e}_z) \\ &= R^2 d\varphi \vec{e}_z + Rz d\varphi \vec{e}_\rho \end{aligned}$$

et

$$\sin \alpha = \frac{R}{|PM|} \quad \Rightarrow \quad \frac{1}{|PM|^3} = \frac{\sin^3 \alpha}{R^3}$$

d'où

$$d\vec{B} = \frac{\mu_0 I \sin^3 \alpha}{4\pi R^3} (R^2 d\varphi \vec{e}_z + Rz d\varphi \vec{e}_\rho)$$

Comme

$$\int_0^{2\pi} (d\varphi \vec{e}_\rho) = \vec{e}_x \int_0^{2\pi} \cos \varphi d\varphi + \vec{e}_y \int_0^{2\pi} \sin \varphi d\varphi = 0$$

le champ  $\vec{B}(M)$  est

$$\begin{aligned} \vec{B} &= \frac{\mu_0 I \sin^3 \alpha}{2R} \vec{e}_z \\ &= \frac{\mu_0 I}{2} \frac{R^2}{(R^2 + z^2)^{\frac{3}{2}}} \vec{e}_z \end{aligned}$$

(4.2)

### 4.3 Solénoïde infini d'axe $\vec{OZ}$

Un solénoïde  $\mathcal{S}$  est constitué d'un enroulement d'un fil conducteur autour d'un cylindre d'axe  $\Delta$  que nous prenons  $\vec{OZ}$ , voir 4. Le fil est parcouru un courant permanent  $I$ .

Pour calculer le champ  $\vec{B}$  créé par  $\mathcal{S}$  en un point  $M \in \Delta$ , on suppose que:

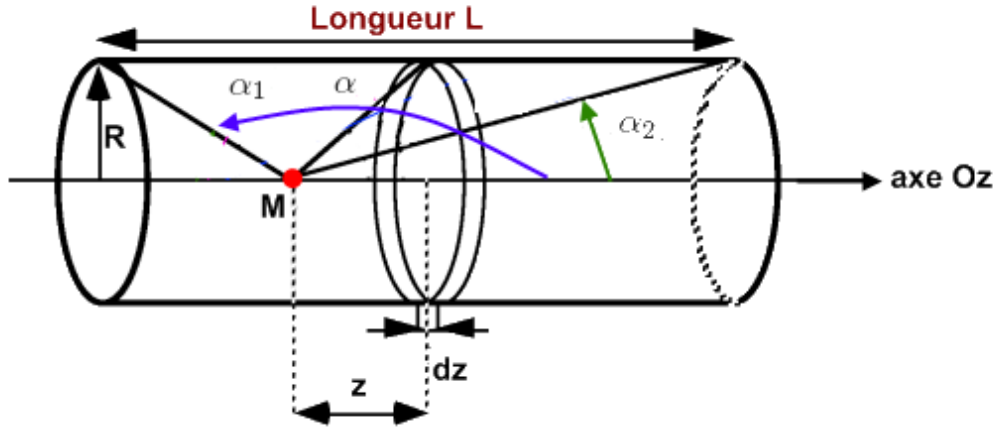


Figure 4: Induction magnétique créé par une sélénoïde de courant permanent  $I$  d'axe  $\vec{OZ}$

- i) le fil est suffisamment mince et imaginer le sélénoïde comme une juxtaposition *continue* de spires coaxiales  $\mathcal{S}_i$  de rayon  $R$  d'axe  $\vec{Oz}$ ,
- ii) pour une épaisseur  $dz$  autour du point  $P$  du sélénoïde, nous avons  $N$  spires. Cela veut dire que la densité  $dn$  de spires par unité de longueur du sélénoïde est

$$dn = Ndz$$

Avec ces hypothèses, le sélénoïde a donc les mêmes propriétés de symétrie que les spires.

*Détermination de  $\vec{B}$*

Comme chaque spire  $\mathcal{S}$ , parcourue par un courant permanent  $I$ , créé un champ

$$\vec{b} = \frac{\mu_0 I \sin^3 \alpha}{2R} \vec{e}_z, \quad \tan \alpha = \frac{R}{z}$$

une densité  $dn$  de spires sur une épaisseur  $dz$  autour du point  $P$  créé en tout point de l'axe  $\Delta$  un champ élémentaire

$$\begin{aligned} d\vec{B} &= \vec{b}dn = N\vec{b}dz \\ &= N\vec{b}\frac{R}{\sin^2 \alpha}d\alpha \end{aligned}$$

avec

$$dz = \frac{R}{\sin^2 \alpha} d\alpha$$

Remplaçons

$$d\vec{B} = \frac{\mu_0 NI}{2} \sin \alpha d\alpha \vec{e}_z$$

Le champ  $\vec{B}$  est obtenu par intégration

$$\vec{B} = \int_{\alpha_1}^{\alpha_2} d\vec{B} = \vec{e}_z \int_{\alpha_1}^{\alpha_2} \frac{\mu_0 I}{2} \sin \alpha d\alpha$$

ce qui donne pour un solénoïde fini ( $\alpha_1 \leq \alpha \leq \alpha_2$ )

$$\vec{B} = \frac{\mu_0 NI}{2} (\cos \alpha_1 - \cos \alpha_2) \vec{e}_z$$

(4.3)

Pour un solénoïde infini ( $0 \leq \alpha \leq \pi$ )

$$\vec{B} = \mu_0 NI \vec{e}_z = \overrightarrow{\text{constante}}$$

(4.4)

## 5 Travaux dirigés: série I

### Exercice 1 : *Rappels Mathématiques*

#### 1) Gradient d'une fonction scalaire

- (a) Donner  $\text{grad } V = \vec{\nabla} V$  en coordonnées cartésiennes, cylindriques et sphériques
- (b) En déduire l'expression de  $\text{grad} \left( \frac{1}{r} \right)$

#### 2) Divergence d'un vecteur

- (a) Donner  $\text{div } \vec{E} = \vec{\nabla} \cdot \vec{E}$  en coordonnées cartésiennes, cylindriques et sphériques
- (b) en déduire  $\text{div} \left( \frac{\vec{r}}{r^3} \right)$

#### 3) Rotationnel d'un vecteur

- (a) Donner  $\vec{\nabla} \wedge \vec{A}$  en coordonnées cartésiennes
- (b) En déduire : (i)  $\vec{\nabla} \wedge \text{grad } V$ , (ii)  $\vec{\nabla} \cdot \vec{\nabla} \wedge \vec{A}$

#### 4) Calcul intégral

- (a) Donner le théorème de Stokes reliant une intégrale double à une intégrale triple
- (b) Donner le théorème de Green Ostogradsky reliant une intégrale simple à une double



### Exercice 2

Un courant d'intensité  $I$  circule dans une spire circulaire de centre  $O$  et de rayon  $R$ . On se propose de calculer le champ d'induction magnétique  $\vec{b}(M)$  créé au point  $M$  de l'axe  $\vec{Oz}$  de la spire.

- 1) Par des considérations de symétrie, déterminer:
  - (a) Les variables dont dépend  $\vec{b}(M)$ ,
  - (b) La direction de  $\vec{b}(M)$
- 2) A l'aide de la loi de Biot et Savart, déterminer:
  - (a) L'expression du champ  $\vec{b}(M)$  en fonction de  $z$ ,
  - (b) L'expression de  $\vec{b}(M)$  en l'angle  $\alpha$
- 3) En déduire la valeur du champ:
  - (a) Au centre de la spire, point  $z = 0$ ,
  - (b) Dans la limite  $z$  tend vers l'infini
- 4) Un enroulement de spires jointives identiques d'épaisseurs très faibles vis-à-vis des rayons des spires constitue une bobine plate.
  - (a) Déduire de la question précédente le champ d'induction  $\vec{B}(z)$  de la bobine
  - (b) Justifier la réponse
- 5) Calculer circulation de  $\vec{B}(z)$  le long de tout l'axe  $\vec{Oz}$

### Exercice 3

Un solénoïde  $S$  fini est constitué d'un enroulement d'un fil conducteur autour d'un cylindre d'axe  $\Delta$  que nous prenons  $\vec{Oz}$ . Le fil, parcouru un courant permanent  $I$ , est suffisamment mince permettant d'imaginer le solénoïde comme une juxtaposition continue de spires coaxiales de rayon  $R$  d'axe  $\vec{Oz}$

- 1) Faire un schéma illustratif, on notera les angles limites  $\alpha_1$  et  $\alpha_2$
- 2) Si pour une épaisseur  $dz$  autour du point  $P$  du solénoïde, nous avons  $N$  spires ; donner la densité  $dn$  de spires par unité de longueur du solénoïde
- 3) On se propose de calculer le champ d'induction sur l'axe du solénoïde,
  - (a) Donner l'expression du champ élémentaire  $dB$  en fonction de  $\vec{b}(z)$
  - (b) Calculer le champ total  $\vec{B}(z)$  en fonction de  $\alpha_1$  et  $\alpha_2$
- 4) En déduire la valeur du champ pour le cas d'un solénoïde infini

#### Exercice 4

On considère un conducteur cylindrique homogène de base circulaire de rayon  $R$  et de longueur  $L$  supposée grande. Ce conducteur est parcouru par un courant volumique axial d'intensité  $I$  et de densité volumique  $\vec{j} = j\vec{e}_z$ .

- 1) Par des considérations de symétrie, déterminer:
  - (a) Les variables dont dépend l'induction magnétique  $\vec{B}(M)$
  - (b) La direction de  $\vec{B}(M)$
  - (c) Vérifier que  $\text{div } \vec{B} = 0$
- 2) Déterminer l'expression du champ  $\vec{B}(M)$  en tout point de l'espace
- 3) Déterminer les variables dont dépend le potentiel vecteur  $\vec{A}(M)$
- 4) Déterminer la direction de  $\vec{A}(M)$
- 5) Vérifier que  $\text{div } \vec{A} = 0$
- 6) A partir de la relation  $\vec{B} = \vec{\nabla} \wedge \vec{A}$ , déterminer l'expression de  $\vec{A}(M)$  en tout point de l'espace
- 7) En déduire la constante d'intégration pour la condition  $\vec{A}(\rho = R) = 0$ .

## 6 Solution (des indications)

#### Exercice 1

- 1) Gradient d'une fonction scalaire
  - (a) en coordonnées cylindriques

$$\text{grad } V = \frac{\partial V}{\partial \rho} \vec{e}_\rho + \frac{1}{\rho} \frac{\partial V}{\partial \varphi} \vec{e}_\varphi + \frac{\partial V}{\partial z} \vec{e}_z$$

en coordonnées sphériques

$$\text{grad } V = \frac{\partial V}{\partial r} \vec{e}_r + \frac{1}{r} \frac{\partial V}{\partial \theta} \vec{e}_\theta + \frac{1}{r \sin \theta} \frac{\partial V}{\partial \varphi} \vec{e}_\varphi$$

- (b) En déduire l'expression de  $\text{grad} \left( \frac{1}{r} \right)$

$$\text{grad} \left( \frac{1}{r} \right) = -\frac{\vec{e}_r}{r^2} = -\frac{\vec{r}}{r^3}$$

## 2) Divergence d'un vecteur

(a) en coordonnées cylindriques

$$\operatorname{div} \vec{E} = \frac{1}{\rho} \frac{\partial (\rho E_\rho)}{\partial \rho} + \frac{1}{\rho} \frac{\partial E_\varphi}{\partial \varphi} + \frac{\partial E_z}{\partial z}$$

en sphériques

$$\operatorname{div} \vec{E} = \frac{1}{r^2} \frac{\partial (r^2 E_r)}{\partial r} + \frac{1}{r \sin \theta} \frac{\partial (\sin \theta E_\theta)}{\partial \theta} + \frac{\partial E_\varphi}{r \sin \theta \partial \varphi}$$

(b) a priori

$$\operatorname{div} \left( \frac{\vec{r}}{r^3} \right) = \frac{1}{r^2} \frac{\partial (1)}{\partial r} = 0!$$

mais ceci n'est vrai que pour  $r \neq 0$ . Pour  $r = 0$ , cette quantité diverge; en effet on sait que pour le champ électrostatique  $\vec{E} = \frac{q}{4\pi\epsilon_0} \frac{\vec{r}}{r^3}$ , on a:

$$\operatorname{div} \vec{E} = \frac{\varrho}{\epsilon_0} \neq 0$$

ce qui conduit à:

$$\operatorname{div} \frac{\vec{r}}{r^3} = 4\pi \frac{\varrho}{q}, \quad \varrho = q\delta(r), \quad \text{avec } \delta \text{ distribution de Dirac}$$

## 3) Rotationnel d'un vecteur

(a) Donner  $\vec{\nabla} \wedge \vec{A}$  en coordonnées cartésiennes

$$\vec{\nabla} \wedge \vec{A} = \begin{vmatrix} \frac{\partial}{\partial x} \\ \frac{\partial}{\partial y} \\ \frac{\partial}{\partial z} \end{vmatrix} \wedge \begin{vmatrix} A_x \\ A_y \\ A_z \end{vmatrix} = \begin{vmatrix} \frac{\partial A_z}{\partial y} - \frac{\partial A_y}{\partial z} \\ \frac{\partial A_x}{\partial z} - \frac{\partial A_z}{\partial x} \\ \frac{\partial A_y}{\partial x} - \frac{\partial A_x}{\partial y} \end{vmatrix}$$

(b)

$$\begin{aligned} \operatorname{rot}(\operatorname{grad} V) &= \vec{\nabla} \wedge \vec{\nabla} V = \vec{0} \\ \operatorname{div}(\operatorname{rot} V) &= 0 \end{aligned}$$

## 4) relations de Stokes

$$\begin{aligned} \iint_{\Sigma=\partial V} \vec{A} \cdot d\vec{S} &= \iiint_V \operatorname{div} \vec{A} d\tau &: \text{Relation 1: Green-Ostogradsky} \\ \oint_{C=\partial S} \vec{A} \cdot d\vec{l} &= \iint_S \operatorname{rot} \vec{A} \cdot d\vec{S} &: \text{Relation 2: Stokes} \end{aligned}$$

**Exercice 2:** pour des détails voir section 4.2

1) i)  $\vec{b} = \vec{b}(z)$ , ii)  $\vec{b} = b(z) \vec{e}_z$

2) loi de Biot et Savart

$$\begin{aligned}\vec{b} &= \frac{\mu_0 I \sin^3 \alpha}{2R} \vec{e}_z \\ &= \frac{\mu_0 I}{2} \frac{R^2}{(R^2 + z^2)^{\frac{3}{2}}} \vec{e}_z\end{aligned}$$

3) valeur du champ:

(a) Au centre de la spire: point  $z = 0$

$$\vec{b} = \frac{\mu_0 I}{2R} \vec{e}_z$$

(b) Dans la limite  $z$  tend vers l'infini

$$\vec{b} \rightarrow \vec{0}$$

4) bobine plate.

Le champ  $\vec{B}$  est obtenu par application du

*principe de superposition*

c'est à dire que le champ total  $\vec{B}(z)$  créé par la bobine est la somme des champs créés par chacune des  $N$  spires:  $N\vec{b}$

$$\begin{aligned}\vec{B}(z) &= \frac{\mu_0 N I}{2R} \sin^3 \alpha \vec{e}_z \\ &= \frac{\mu_0 N I}{2R} \frac{b^3}{(R^2 + z^2)^{\frac{3}{2}}} \vec{e}_z\end{aligned}$$

5) circulation de  $B$  le long de tout l'axe  $\vec{Oz}$

$$\begin{aligned}\int_{-\infty}^{\infty} B_z dz &= \int_{-\infty}^{\infty} \frac{\mu_0 I}{2} \frac{R^2}{(R^2 + z^2)^{\frac{3}{2}}} dz \\ &= \int_{-\infty}^{\infty} \left( \frac{\mu_0 I}{2R} \sin^3 \alpha \right) dz\end{aligned}$$

Ensuite utilisons les relations

$$\begin{aligned}\sin^3 \alpha &= \frac{R^3}{(R^2+z^2)^{\frac{3}{2}}} \\ \tan \alpha &= \frac{R}{z} \\ z &= \frac{R}{\tan \alpha} = R \cot \alpha = R \frac{\cos \alpha}{\sin \alpha} \\ dz &= \frac{-R}{\sin^2 \alpha} d\alpha\end{aligned}$$

et les bornes

$$\begin{aligned}z = -\infty &\iff \alpha = \pi^- \\ z = \infty &\iff \alpha = 0^+\end{aligned}$$

pour

$$\begin{aligned}\int_{-\infty}^{\infty} B_z dz &= \int_{\pi^-}^{0^+} \left( \frac{\mu_0 I}{2R} \sin^3 \alpha \right) \frac{-R}{\sin^2 \alpha} d\alpha \\ &= -\frac{\mu_0 I}{2} \int_{\pi^-}^{0^+} \sin \alpha d\alpha \\ &= \frac{\mu_0 I}{2} \int_{\pi^-}^{0^+} d(\cos \alpha) \\ &= \frac{\mu_0 I}{2} [\cos \alpha]_{\pi}^0 \\ &= \mu_0 I\end{aligned}$$

### Exercice 3: voir sous -section 4.3

- 1) schéma illustratif, voir fig 3
- 2) densité dn de spires par unité de longueur du solénoïde

$$\frac{dn}{dz} = N \quad \Rightarrow \quad dn = N dz$$

- 3) (a) champ élémentaire

$$d\vec{B} = \vec{b} dn = N \vec{b} dz$$

avec

$$\vec{b} = \frac{\mu_0 I \sin^3 \alpha}{2R} \vec{e}_z$$

et

$$z = \frac{R}{\tan \alpha} \quad \Rightarrow \quad dz = \frac{R d\alpha}{\sin^2 \alpha}$$

- (b) champ total

$$\begin{aligned}\vec{B}(z) &= \vec{e}_z \int_{\alpha_1}^{\alpha_2} \frac{\mu_0 I N \sin^3 \alpha}{2R} \times \frac{R d\alpha}{\sin^2 \alpha} \\ &= \vec{e}_z \int_{\alpha_1}^{\alpha_2} \frac{\mu_0 I N}{2} \sin \alpha d\alpha\end{aligned}$$

d'où

$$\vec{B}(z) = \frac{\mu_0 I N (\cos \alpha_1 - \cos \alpha_2)}{2} \vec{e}_z$$

4) Solénoïde infini:  $\alpha_1 = 0, \alpha_2 = \pi$

$$\vec{B} = \mu_0 I N \vec{e}_z$$

**Exercice 4:** conducteur cylindrique

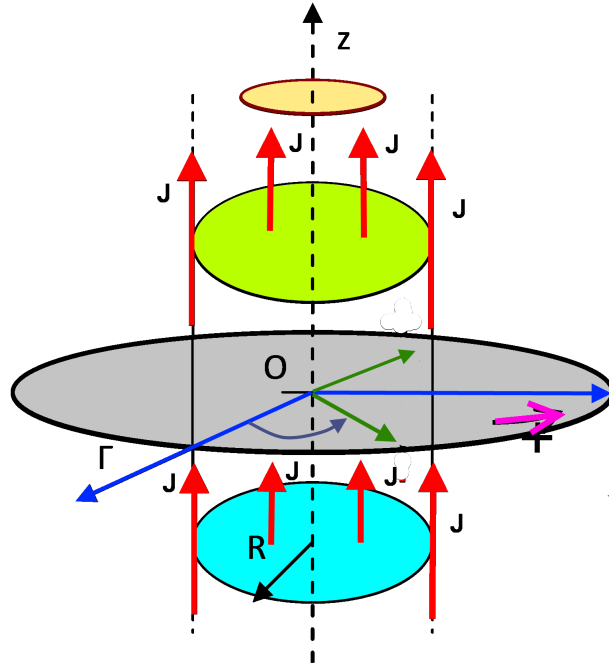


Figure 5: conducteur cylindrique parcouru par  $J = j e_z$ . Coordonnées  $M = (\rho, \varphi, z)$ .  $\Gamma$  est la courbe d'Ampère.

1) (a) symétrie cylindrique implique:

$$\vec{B} = \vec{B}(\rho)$$

(b) direction de  $\vec{B}$  : le plan

$$\Pi_s \equiv (\vec{e}_\rho, \vec{e}_z) \perp \vec{e}_\varphi \quad \text{contenant } M$$

est un plan de symétrie du conducteur. Ceci implique

$$\vec{B} \perp \Pi_s \quad \Leftrightarrow \quad \vec{B} = B(\rho) \vec{e}_\varphi$$

(c) calcul de  $\text{div } \vec{B}$  : En coordonnées cylindriques, on a:

$$\begin{aligned} \text{div } \vec{B} &= \vec{\nabla} \cdot \vec{B} \\ &= \frac{\partial B_\rho}{\partial \rho} + \frac{\partial B_\varphi}{\rho \partial \varphi} + \frac{\partial B_z}{\partial z} \\ &= \frac{\partial B_\varphi}{\rho \partial \varphi} = 0 \quad \text{car } B = B(\rho) \text{ ne dépendant ni de } \varphi \text{ ni de } z \end{aligned}$$

- 2) Expression du champ  $\vec{B}(M)$  en tout point de l'espace  
par le Théorème d'Ampère (voir chap 2 pour plus de détails sur ce th)

$$\oint_{\Gamma} \vec{B} \cdot d\vec{l} = \mu_0 I \quad : \quad \text{Théorème d'Ampère}$$

ou  $\Gamma$  est la courbe d'Ampère.

Dans notre cas,  $\Gamma$  est un cercle de rayon  $\rho$  passant par M

on a aussi

$$\begin{aligned} \vec{B} &= B\vec{e}_{\varphi} \\ d\vec{l} &= \rho d\varphi \vec{e}_{\varphi} + dz\vec{e}_z \end{aligned}$$

soit

$$\vec{B} \cdot d\vec{l} = \rho B d\varphi$$

Selon le choix de  $\Gamma$  on distingue deux cas:

$$\text{a) } \rho > R \quad , \quad \text{b) } \rho < R$$

i) cas  $\rho > R$

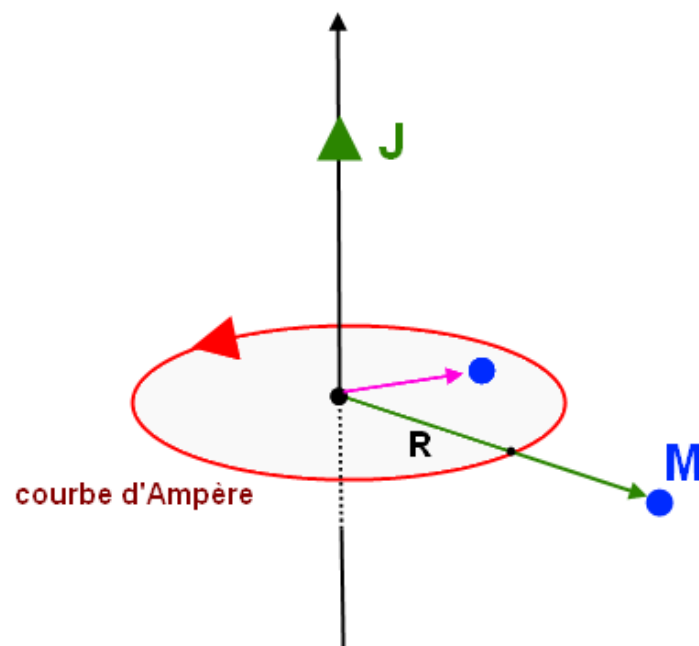


Figure 6: Courbe d'Ampère.

La courbe d'Ampère est un cercle de rayon  $\rho$  passant par M. Comme  $\rho > R$ , le

courant traversant  $\mathcal{S}$  délimitée par  $\Gamma$  est

$$I = \int_{\mathcal{S}} \vec{J} \cdot d\vec{S} = \int_{\mathcal{S}} j \, dS$$

avec  $\partial\mathcal{S} = \Gamma$  et

$$\begin{aligned} \vec{J} &= j \, \vec{e}_z \\ d\vec{S} &= dS \, \vec{e}_z \end{aligned}$$

d'où

$$I = \int_{0 \leq \rho \leq R} j \, dS + \underbrace{\int_{\rho > R} j}_{=0} dS$$

et donc

$$I = j\pi R^2$$

Le théorème d'Ampère implique

$$\begin{aligned} \mu_0 I &= \oint_{C_\Gamma} \vec{B} \cdot d\vec{l} \\ &= \oint_0^{2\pi} B_\varphi (\rho d\varphi) \\ &= \rho B_\varphi \int_0^{2\pi} d\varphi \\ &= 2\pi \rho B_\varphi \end{aligned}$$

D'où

$$B_\varphi = \frac{\mu_0 I}{2\pi \rho} \quad \text{avec} \quad I = j\pi R^2$$

ii) cas  $\rho < R$

Dans ce cas seule une partie du courant contribue car

$$\begin{aligned} I_{int} &= \int_{\mathcal{S}} \vec{J} \cdot d\vec{S} = j \int_{\mathcal{S}} dS, \quad \partial\mathcal{S} = \Gamma \\ &= j\pi\rho^2 \\ &= (j\pi R^2) \frac{\rho^2}{R^2} \\ &= I \frac{\rho^2}{R^2} \end{aligned}$$

le théorème d'Ampère donne

$$\begin{aligned} \mu_0 j\pi\rho^2 &= \mu_0 I \frac{\rho^2}{R^2} \\ &= \oint_{C_\Gamma} \vec{B} \cdot d\vec{l} \\ &= \oint_0^{2\pi} B_\varphi (\rho d\varphi) \\ &= 2\pi \rho B_\varphi \end{aligned}$$



soit:

$$2\pi\rho B_\varphi = \mu_0 I \frac{\rho^2}{R^2}$$

et donc

$$B_\varphi = \mu_0 I \frac{\rho}{2\pi R^2}$$

3) variables de  $\vec{A}(M)$  :

symétrie cylindrique implique:

$$\vec{A} = \vec{A}(\rho)$$

il n'y a pas de variable  $z$  ni de variable  $\varphi$

4) direction de  $\vec{A}(M)$ . Le plan de symétrie  $\Pi_s$  implique

$$\vec{A} \in \Pi_s$$

càd qu'on a cherché 2 composantes. Mais comme le plan

$$\Pi_a = (\vec{e}_\rho, \vec{e}_\varphi) \text{ est un plan d'antisymétrie}$$

et que

$$\vec{A} \perp \Pi_a$$

on a

$$\vec{A} = A(\rho) \vec{e}_z$$

5) Vérifier que  $\text{div } \vec{A} = 0$

$$\begin{aligned} \text{div } \vec{A} &= \vec{\nabla} \cdot \vec{A} \\ &= \frac{\partial A_\rho}{\partial \rho} + \frac{\partial A_\varphi}{\rho \partial \varphi} + \frac{\partial A_z}{\partial z} = \frac{\partial A_z}{\partial z} \\ &= 0, \quad \text{car ne dépend pas de } z \end{aligned}$$

6) Expression de  $\vec{A}(M)$  en tout point de l'espace

A partir de

$$\vec{B} = \vec{\nabla} \wedge \vec{A}$$

soit en effectuant

$$\begin{vmatrix} B_\rho(\rho) \\ B_\varphi(\rho) \\ B_z(\rho) \end{vmatrix} = \begin{vmatrix} \frac{\partial}{\partial \rho} \\ \frac{\partial}{\rho \partial \varphi} \\ \frac{\partial}{\partial z} \end{vmatrix} \wedge \begin{vmatrix} A_\rho \\ A_\varphi \\ A_z \end{vmatrix} = \begin{vmatrix} 0 \\ -\frac{\partial A_z}{\partial \rho} \\ 0 \end{vmatrix}$$

soit

$$B_{\varphi}(\rho) = -\frac{\partial A_z}{\partial \rho} \quad \Leftrightarrow \quad A_z = -\int B_{\varphi} d\rho$$

on distingue 2 cas

$$\begin{aligned} \alpha) \quad \rho > R & : B_{\varphi} = \frac{\mu_0 I}{2\pi\rho} \\ \beta) \quad \rho < R & : B_{\varphi} = \mu_0 I \frac{\rho}{2\pi R^2} \end{aligned}$$

$\alpha) \quad \underline{\rho > R}$

$$A_z(\rho) = -\int \frac{\mu_0 I}{2\pi\rho} d\rho = -\frac{\mu_0 I}{2\pi} \ln \rho + cte$$

7) la condition sur  $\vec{A}$  permet de déterminer la constante pour  $\rho = R^+$

$$A_z(\rho = R) = 0 \quad \Rightarrow \quad cte = \frac{\mu_0 I}{2\pi} \ln R$$

soit

$$A_z(\rho) = -\frac{\mu_0 I}{2\pi} \ln \rho + \frac{\mu_0 I}{2\pi} \ln R = -\frac{\mu_0 I}{2\pi} \ln \frac{\rho}{R}$$

$\beta) \quad \underline{\rho < R}$

$$A_z(\rho) = -\int \frac{\mu_0 I \rho}{2\pi R^2} d\rho = -\frac{\mu_0 I}{4\pi R^2} \rho^2 + cte'$$

La condition sur  $\vec{A}$  permet de déterminer la constante  $\rho = R^-$

$$A_z(\rho = R) = 0 \quad \Rightarrow \quad cte' = \frac{\mu_0 I}{4\pi R^2} R^2$$

soit

$$\begin{aligned} A_z(\rho) &= -\frac{\mu_0 I}{4\pi R^2} \rho^2 + \frac{\mu_0 I}{4\pi R^2} R^2 \\ &= \frac{\mu_0 I}{4\pi} \left(1 - \frac{\rho^2}{R^2}\right) \end{aligned}$$